

## تعیین اثر پارامترهای عملیاتی بر خواص ذرات در فناوری تولید

### ریز ذرات به روش پاشش سیال فوق بحرانی در محیط مایع<sup>۱</sup>

فاطمه ذبیحی<sup>۱\*</sup>، مریم اوتادی<sup>۲</sup>، مازیار شریفزاده<sup>۱</sup>

۱- آمل، دانشگاه آزاد اسلامی، واحد آیت الله آملی، دانشکده فنی و مهندسی، گروه مهندسی شیمی

۲- تهران، دانشگاه آزاد اسلامی، واحد تهران مرکز، دانشکده فنی و مهندسی، گروه مهندسی شیمی

پیام نگار: Elyze\_125@hotmail.com

#### چکیده

از روش پاشش ناگهانی جت فوق بحرانی در محیط مایع جهت تولید ریز ذرات یک ماده دارویی و افزایش سرعت انحلال پذیری آن استفاده شده است. این روش به دلیل اعتدال شرایط عملیاتی بالاخص برای مواد زیست‌شناختی، ترکیبات آلی، مواد دارویی و غذایی بیشتر از سایر روش‌های تولید ریز ذرات مورد استقبال قرار گرفته است. پاشش سیال فوق بحرانی به درون محیط فشرده مایع، می‌تواند منجر به تولید ذراتی ریز و یکنواخت گردد. هدف اصلی این تحقیق بررسی اثر شرایط محیط دریافت دارنده جت پاششی بر خواص ذرات است. نتایج نشان می‌دهند که اگر مایع دریافت‌کننده جت دمای پایین (کمتر از ۱۰°C) قرار داشته باشد، ذرات تولید شده، درشت و نسبتاً کربستالی بوده و از سرعت انحلال پذیری چندان بالایی برخوردار نخواهد بود. گذشته از دمای مایع، استفاده از محلول پلیمری به جای آب خالص، می‌تواند به بهبود کیفیت ذرات کمک کند. ترکیب مدل انتخاب شده در این آزمایش ایوبوروفن است که دارویی ضد درد و التهاب بوده و عموماً به صورت خوارکی مصرف می‌شود. جذب این دارو در بدن به دلیل نامحلول بودن آن، بسیار کم است. کاهش اندازه ذرات این ترکیب جامد، موجب افزایش سطح ویژه و سرعت انحلال پذیری آن می‌شود. سیال به کار گرفته شده نیز گاز CO<sub>2</sub> است که در شرایط کاملاً معتمد (فشار ۷۲ bar و دمای ۳۱/۱°C) به نقطه بحرانی می‌رسد. به علاوه غیر سمی و ارزان قیمت بوده و بر ماهیت شیمیایی مواد تاثیر نمی‌گذارد.

**کلمات کلیدی:** پاشش ناگهانی، جت پاششی، دی اکسید کربن فوق بحرانی، ریز ذرات دارویی، محلول پلیمری

می‌شود. در تمامی فرایندهای فیزیکی و شیمیایی که با دخالت ترکیبات جامد انجام می‌گیرند، سرعت انجام فرایند و بازدهی آن متاثر از اندازه ذرات جامد است. قابلیت انحلال ذرات جامد در یک سیال، واکنش‌های شیمیایی دو فازی، فرایند جذب یک سیال بر روی سطح یک جاذب جامد، واکنش‌های کاتالیزی، خواص محلول‌های ناهمگن (انواع سوسپانسیون) و عبور ذرات جامد

#### ۱- مقدمه

یکی از کلیدی‌ترین عوامل مؤثر بر کارآیی مواد جامد به خصوص مواد آلی و غیر آلی که به صورت پودری و گرانولی مصرف می‌شوند، اندازه ذرات و دانه‌ها و اندازه سطح ویژه آنها است. سطح ویژه یک ذره، کل سطح در دسترس با محیط به ازای واحد جرم تعريف

#### 1. RESOLV

جهت تولید ریز ذرات هنوز در مراحل اولیه توسعه قرار دارد، تا به امروز بسیاری از مواد آلی و غیر آلی (طبیعی و سنتزی) با این روش فراورش شده و نتایج حاصل از بررسی اثر پارامترهای عملیاتی (دما، فشار، ابعاد تجهیزات و سایر پارامترهای عملیاتی) در مورد آنها در منابع و مراجع موجود می‌باشد. خواص بی‌نظیر سیالات در منطقه فوق بحرانی از جمله دارا بودن توان رفتارهای فازی گاز و مایع، قابلیت فشردنگی زیاد، چگالی تغییرپذیر، نفوذپذیری بالا گرانرو بودن سیال، انرژی درونی زیاد و قدرت انحلال‌پذیری چشمگیر، این فناوری را با مزایایی چون امکان کنترل ساده شرایط عملیاتی، کنترل خواص فیزیکی، عدم زوال و تغییر ویژگی‌های شیمیایی، کنترل توزیع اندازه و خلوص محصولات، تک مرحله‌ای بودن فرایند و امکان بازیابی حلال و قابلیت کاربرد برای انواع ترکیبات حساس به گرمای دور از ایجاد مشکلات زیست محیطی، همراه می‌سازد [۱۰-۱۲].

سیالات فوق بحرانی در فرایندهای تولید ریز ذرات می‌توانند به عنوان حلال یا ضد حلال مورد استفاده قرار گیرند. یک حلال فوق بحرانی می‌تواند جامد مورد نظر را در خود حل کند، سپس با عبور از یک ابزار پاشش (نازل) دچار افت فشار ناگهانی شود (فرایند پاشش ناگهانی). این افت فشار ناگهانی در کمتر از  $10^{-5}$  ثانیه موجب رسوب کردن ماده حل شونده به صورت ذرات بسیار ریز می‌شود. همچنین اگر ترکیب جامدی را در یک حلال مایع یا گاز که بهشت قابل حل شدن در حلال فوق بحرانی باشد، حل نماییم، با تزریق مستقیم حلال فوق بحرانی در محلول، می‌توان موجب رسوب کردن ماده مورد نظر به صورت ذرات جامد شد. روش اول به دلیل برخورداری از مزیت بکارگیری ابزار پاشش، بسیار مورد توجه می‌باشد (پاشش ناگهانی)<sup>۱</sup>. عبور محلول فوق بحرانی از یک نازل با قطر بسیار کم و رسیدن سرعت آن به سرعت صوت در مدت بسیار کوتاه، موجب پیدایش ذراتی در مقیاس میکرو و نانومتریک، با توزیع یکنواخت می‌شود [۱۶-۱۳]. به علاوه شرایط عملیاتی این فرایند نسبتاً معتل است و برای فراورش مواد آلی زیست‌شناختی که عموماً به گرمای حساس هستند، پیشنهاد می‌شود [۲۰-۱۷]. ترکیب مدل در تحقیق حاضر ایزوپوتیل فنیل پروپیونیک اسید (ایپوروفن) می‌باشد. این ماده دارویی که همواره به صورت قرص جامد و خوارکی تجویز می‌شود، مانند اغلب داروهایی که به صورت قرص

(خوارکی، دارویی، ویتامین‌ها و مکمل‌ها) از لایه مایعات مخاطی دستگاه گوارش، به منظور جذب و رسیدن به اندام هدف، همگی تابع توزیع اندازه ذرات جامد و اندازه سطح ویژه آنهاست. چنانچه یک ذره با حفظ خواص اولیه به قطعات کوچکتر تقسیم شود. سطح ویژه کل ذرات به دست آمده تا چندین برابر نسبت به سطح ویژه ذره اولیه بزرگتر خواهد بود [۱].

لزوم به کارگیری مواد جامد در قالب ریز ذرات، به کشف و توسعه روش‌های مختلفی جهت تولید ذرات ریز در مقیاس‌های میکرومتری و نانومتری منتج شد. در واقع می‌توان این روش‌ها را در دو گروه اصلی روش‌های مکانیکی و روش‌های مکانیکی بر انحلال‌پذیری (مانند رسوب‌گیری و کریستالیزاسیون) جای داد. آسیاب کردن<sup>۲</sup>، متداول‌ترین روش مکانیکی تبدیل مواد جامد به ذرات بسیار ریز است. با اینکه قابلیت این روش در تولید ذرات بسیار ریز محدود است و فشارهای مکانیکی و گرمای حاصل از اصطکاک در فرایند آسیاب کردن، ممکن است به ذرات آسیاب برساند، این روش بدلیل سادگی در اجرا، همواره در مقیاس‌های مختلف مورد استفاده قرار می‌گیرد [۴-۲].

از میان روش‌هایی که بر اساس انحلال‌پذیری طراحی شده‌اند، پاشش خشک<sup>۳</sup>، بدلیل دمای عملیاتی بالا (بالاتر از ۱۵۰ درجه سلسیوس) برای فراورش ترکیبات حساس، مانند مواد زیست‌شناختی، دارویی و آنزیمی، پیشنهاد نمی‌شود [۵]. رسوب ذرات از طریق پاشش انجام‌داد<sup>۴</sup> محلول نیز روشی بسیار سریع با بازدهی مناسب است، که با مشکل نا مناسب بودن شرایط عملیاتی و امکان تخریب ترکیبات جامد همراه می‌باشد. فرایندهایی مانند رسوب‌گیری از محلول مایع<sup>۵</sup> و تبلور<sup>۶</sup> نیز علیرغم دامنه کاربردی وسیع می‌توانند با اثراتی چون تخریب شیمیایی ماده جامد و به هدر رفتن حلال، همراه باشند [۸-۶].

با گشایش مبحث سیالات فوق بحرانی در زمینه تولید نانو و میکرون ذرات در چند دهه اخیر، امکان حذف مشکلات و معایب فوق مورد بررسی قرار گرفت و اولین مشاهدات مربوط به مطالعه پارامترهای عملیاتی این فناوری به دهه ۱۹۸۰ باز می‌گردد [۹].

هر چند مطالعات در زمینه به کارگیری فناوری سیال فوق بحرانی

1. Ball Milling & Jet Milling
2. Spray Drying
3. Freeze Drying
4. Liquid Solvent Precipitation
5. Crystallization

## 6. Rapid Expansion of Supercritical Solvent

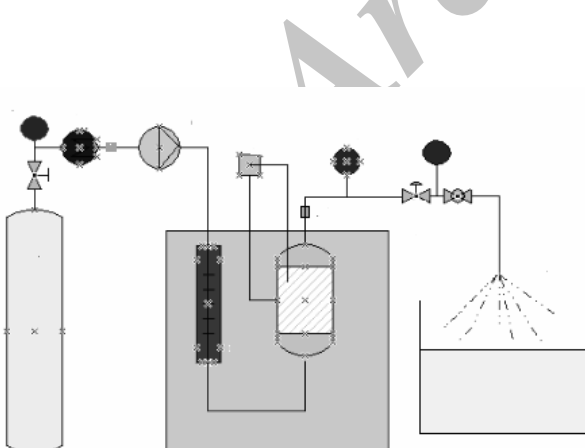
[۲۶]. استفاده از آب خالص در دمای محیط و تأثیر به کارگیری محلول‌های پلیمری، پیشاپیش، توسط گروههای مختلف مورد بررسی قرار گرفته است [۲۷]. در این تحقیق، عمدتاً بر نقش دمای مایع دریافت دارنده جت پاششی، درصد و جرم مولکولی پلیمر مورد استفاده در مایع دریافت‌کننده جت پاششی تأکید شده است. مکانیزم تشکیل ذرات بلافاصله پس از پاشش توسط دو مرحله کنترل می‌شود: ۱- پیدایش هسته‌های اولیه - ۲- رشد و بهم پیوستن احتمالی ذرات.

اگر پاشش به طور مستقیم در یک محیط با چگالی بالا مثل محیط مایع انجام شود، به دلیل فشردگی و تراکم محیط، امکان رشد و به هم چسبیدگی ذرات به حداقل رسیده و انتظار به دست آمدن ذراتی ریزتر، بسیار منطقی به نظر می‌رسد. چگالی محلول دریافت دارنده جت،تابع دما است. همچنین با افزودن نوعی ماده فعال در سطح با غلظت‌های مختلف به محیط مایع، می‌توان احتمال کلوخه شدن و به هم چسبیدن ذرات را کاهش داد.

## ۲- عملیات آزمایشگاهی تولید ریز ذرات

### ۲-۱ سیستم آزمایشگاهی

سیستم آزمایشگاهی بر پا شده جهت تولید ریز ذرات با استفاده از پاشش ناگهانی محلول فوق بحرانی، طبق اولگوی متدالو فرایند پاشش ناگهانی ساخته شده است. طرح اجمالی این فرایند در شکل (۱) نشان داده شده است.



شکل ۱- طرح اجمالی ساده فرایند RESS

صرف می‌شوند، در معده و روده کوچک به عوامل سازنده‌اش تجزیه شده و ترکیب موثر آن با حل شدن در مایع پوشاننده دیواره داخلی اندام هاضمه، از غشاء آن عبور کرده و وارد جریان خون می‌شود. در اینجا به ذکر این نکته بسنده می‌کنیم که مولکول ایوبورو芬 به دلیل جرم مولکولی زیاد، ساختار فضایی حجمی و قطبیت نه چندان زیاد، قدرت حل شوندگی بسیار ضعیفی در آب دارد و یکی از راههای افزایش انحلال‌پذیری آن، افزایش سطح تماس از طریق کاهش اندازه ذرات است. کاهش اندازه ذرات پودری ماده موثر ایوبورو芬 با توزیع یکنواخت موجب افزایش نرخ انحلال‌پذیری آن می‌شود [۲۱].

یکی از کاربردی‌ترین ترکیباتی که به عنوان سیال فوق بحرانی مورد استفاده قرار می‌گیرد گاز دی‌اکسیدکربن است. این سیال دارای دما و فشار بحرانی معتدل ( $T_c = 31^\circ\text{C}$  و  $P_c = 72 \text{ bar}$ ) بوده و از نظر شیمیابی خورنده و سمی نمی‌باشد. از طرفی دیگر دی اکسیدکربن فوق بحرانی به دلیل غیرقطبی بودن به راحتی قادر به حل کردن ایوبورو芬 است. همچنین گاز دی‌اکسیدکربن از نظر تأثیرات زیست محیطی کاملاً خنثی و بدون ضرر بوده و موجب تخریب فیزیکی و شیمیابی ترکیب فراورش شونده، نمی‌شود. در واقع برای فراورش مواد جامد زیست‌شناختی و دارویی که به لحاظ شیمیابی بسیار حساس و تخریب پذیر هستند، دی‌اکسیدکربن فوق بحرانی، مناسب‌ترین حلال محسوب می‌شود [۲۲-۲۵].

هدف از تحقیق حاضر بررسی اثر پارامترهای اصلی فرایندی روش انبساط سریع بر خواص ذرات به دست آمده، بخصوص در شرایط معتدل عملیاتی، به منظور دستیابی به شرایط بهینه فرایندی و توسعه این روش در جهت تولید محصولی با خواص فیزیکی دلخواه با کمترین مشکلات عملیاتی است. طبق آنچه پیرامون جزئیات فرایند RESS شرح داده شد، می‌توان نتیجه گرفت که کنترل مرحله پیدایش و رشد هسته‌های تشکیل شده، یکی از مهمترین اقداماتی است که می‌توان جهت دستیابی به محصولاتی با کیفیت دلخواه انجام داد. از جمله، ایجاد تغییراتی در شرایط دریافت‌کننده جت پاششی که عامل اصلی موثر بر مکانیزم رشد هسته‌ها و تشکیل احتمالی خوشه‌های به هم پیوسته ذرات است، می‌تواند به بهبود خواص ذرات تشکیل شده، از جمله، کاهش قطر متوسط و یکنواختی آن کمک کند. یکی از راهکارهایی که بدین منظور پیشنهاد می‌شود، استفاده از پاشش ناگهانی محلول فوق بحرانی در محیط مایع است

میکروسکوبی شیشه ای انجام می‌گیرد.

بر اثر کاهش ناگهانی فشار، چگالی حلال به میزان قابل توجهی کاهش می‌یابد و از قدرت انحلال‌پذیری آن کاسته می‌شود. در نتیجه ترکیب جامد، به صورت ذرات بسیار ریزی از محیط محلول فوق بحرانی رسوب می‌کند. پاشش در دما و فشار محیط انجام می‌شود و این شرایط مانند سایر شرایط عملیاتی در تمام آزمایش‌ها کاملاً ثابت و یکسان نگهداشته شده‌اند. لام شیشه‌ای که محل جمع‌آوری نمونه محصولات است بر روی یک پایه فلزی مجهز به قاب نگهدارنده صفحه شیشه‌ای با قابلیت تنظیم زاویه نگهداری صفحه و تغییر فاصله آن از نوک نازل قرار دارد. تمامی مسیر خط لوله و شیرها از خروجی کپسول  $\text{CO}_2$  تا خروجی نازل همگی به وسیله المنت‌های حرارتی با قابلیت تنظیم دما و مجهز به نوار عایق حرارتی پوشانده شده است. دمای سیال در محل‌های مختلف از جمله دو سوی سیستم سرد کننده، دو سوی پیش گرمکن، پیش از فشار شکن و دمای نازل همگی با قرار دادن حسگر دما در محل مورد نظر (زیر نوار حرارتی و عایق) و به کمک صفحه دیجیتالی نمایش داده شده و کنترل می‌گردد. دو عدد صافی ۲ میکرونی فولادی و مقاوم در برابر فشار در قسمت‌های قبل از پمپ و بعد از ستون انحلال‌پذیری قرار داده شده‌اند. کنترل فشار سیال پیش از سرد شدن و پس از پمپ، داخل سلول انحلال‌پذیری و پیش از فشار شکن توسط فشار سنج‌های محفظه فولادی (WIKA, 0-250bar) انجام می‌شود. نازل به صورت کاملاً عمودی روی سطح مایع قرار گرفته و خروجی آن کاملاً مماس با سطح مایع می‌باشد. ظرف محتوى مایع به وسیله یک ژاکت حرارتی مجهز به حسگر و کنترلگر دما پوشیده شده است.

## ۲-۲ آنالیز محصولات

در هر قسمت بلافارسله پس از انجام فرایند، از سوسپانسیون تشکیل شده، نمونه‌گیری به عمل می‌آید و نمونه‌ها درون ظروف در بسته و در دمای محیط به مدت ۷۲ ساعت آنالیزهای آزمایش سرعت انحلال‌پذیری، توزیع اندازه ذرات و SEM فرستاده می‌شوند. فاصله زمانی بین انجام آزمایش و آنالیز به منظور تحقیق پایداری محصول در نظر گرفته شده است.

همانطور که در شکل مشاهده می‌شود، این سیستم دارای دو بخش اصلی است:

### ۱- بخش استخراج

### ۲- بخش پاشش

ابتدا حلال خالص با فشار منبع اصلی (کپسول دی اکسید کربن)، از آن خارج می‌شود و پس از عبور از شیری که جهت کنترل جریان بر سر راه آن قرار گرفته است، وارد خنک کن می‌گردد و تا  $18^{\circ}\text{C}$ - سرد و تبدیل به مایع می‌شود. فرایند سرد سازی توسط یک حمام گردشی<sup>۱</sup> با قابلیت تنظیم دما در محدوده  $(-27^{\circ}\text{C} - 100^{\circ}\text{C})$  انجام می‌گیرد.

دی اکسید کربن مایع با استفاده از پمپ<sup>۲</sup> HPLC به فشار مورد نظر می‌رسد و وارد پیش گرمکن، که یک لوله فولادی مارپیچ به قطر داخلی اسمی  $125\text{ mm}$  اینچ است، می‌شود. با عبور از مسیر پیش گرمکن  $35^{\circ}\text{C}$  به دمای مورد نظر که در تمام آزمایش‌ها می‌باشد، می‌رسد و تحت دما و فشار کنترل شده وارد سلول انحلال‌پذیری می‌شود. سلول انحلال‌پذیری، استوانه‌ای از جنس فولاد مقاوم به فشار و حرارت، به قطر داخلی  $7\text{ mm}$  میلیمتر و ارتفاع  $27\text{ mm}$  سانتیمتر با ضخامت دیواره حدود  $2\text{ mm}$  سانتیمتر و از جنس ضد خوردگی است. این ستون در هر آزمایش با حدود  $30\text{ g}$  نمونه جامد (ایبوروفن خالص) پر می‌شود. سیال هنگام تماس با نمونه جامد در حالت فوق بحرانی قرار دارد. مجموعه ستون انحلال‌پذیری و پیش گرمکن داخل یک محفظه الکتریکی مجهز به کنترل گرما و نمایشگر دیجیتالی با دقت اندازه  $20^{\circ}\text{C} \pm 0.1^{\circ}\text{C}$  قرار داده می‌شوند. پس از حل شدن ترکیب جامد در حلال فوق بحرانی، محلول به دست آمده از ستون خارج شده و وارد شیر فشار شکن ( $25\text{ mm}$  اینچ، فولاد مقاوم در مقابل فشار و حرارت)<sup>۳</sup> می‌شود. بلافارسله بعد از شیر فشار شکن، یک شیر میکرومتری ( $125\text{ mm}$  اینچ، فولادی مقاوم در مقابل فشار و حرارت)<sup>۴</sup> به منظور تنظیم شدت جریان قرار داده شده است. سر دیگر شیر فشار شکن مستقیماً به تجهیزات پاشش (نازل) متصل است. نازل مورد استفاده در این آزمایش‌ها یک لوله فولاد به قطر داخلی  $1\text{ mm}$  میلیمتر، قطر خارجی اسمی  $25\text{ mm}$  اینچ و طول  $4\text{ cm}$  سانتیمتر است و پاشش به‌طور مستقیم بر روی صفحه لام

1. F-ME,julabo,GERMANY

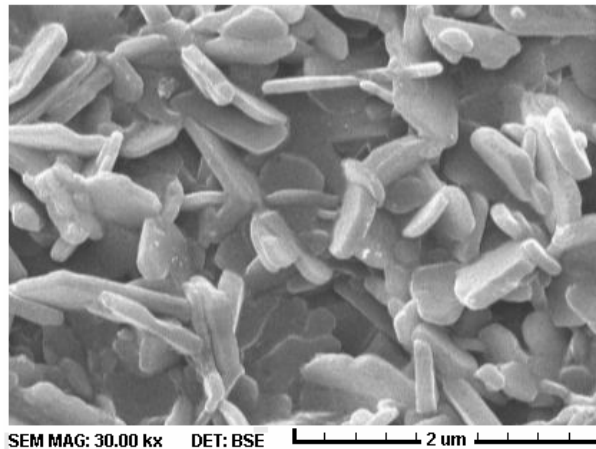
2. LCA,SHIMAD ZU

3. Swagelock-Kprs

4. Hooke

### ۲-۳ مطالعه اثر دما بر قطر ذرات

درشت می‌باشد. در بازه دمایی زیر  $10^{\circ}\text{C}$  ذرات به طور ذاتی درشت می‌باشند. در حالی که در دامنه  $40^{\circ}\text{C}$  به نظر می‌رسد، ذرات اولیه تشکیل شده درشت نبوده، بلکه به دلیل حرارت زیاد به یکدیگر متمایل شده و توده‌های درشتی از ذرات ریز اولیه تشکیل داده‌اند. همچنین در این بازه دمایی، چگالی مایع و نیز همپوشانی مولکول‌های آن در اطراف ذرات جاهد کاهش می‌یابد.



شکل ۳- SEM ذرات حاصل از پاشش در آب خالص ۲۷۳ کلوین

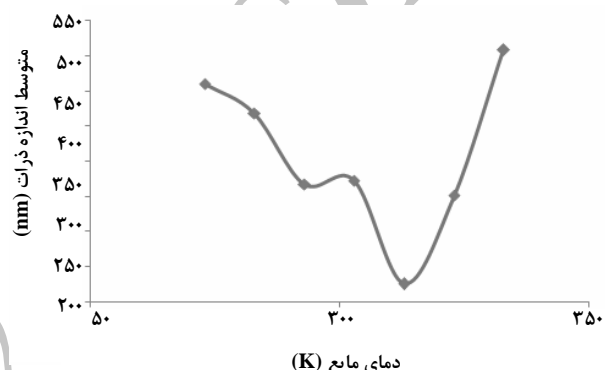
مکانیزم تشکیل ذرات بر اثر افت فشار ناگهانی، به وسیله دو پدیده اصلی کنترل می‌شود.

- ۱- پیدایش هسته‌های اولیه
  - ۲- رشد هسته‌ها و تشکیل احتمالی کلوخه‌ها
- سرعت پیدایش هسته‌های اولیه ذرات از رابطه زیر به دست می‌آید

$$I_f = \alpha \left[ \frac{p}{kT} \right]^2 \left[ \frac{2\delta^{1/2} v}{(2\pi m)^{1/2}} \right] \exp \left[ -\frac{16\pi}{3} \left( \frac{\delta}{kT} \right)^3 \left( \frac{v}{\ln s} \right)^2 \right] \quad (1)$$

در رابطه فوق عبارت غیر نمایی، بیانگر اثر فرکانس برخورد بین هسته‌های اولیه است. در طول فرایند پاشش به دلیل افت ناگهانی چگالی ضربی فوق اشباع (S) نیز به شدت کاهش می‌یابد. در نازل‌های لوله‌ای ( $L/D < 100$ ) دانسیته و فشار در مسیر نازل

ابتدا از آب خالص به عنوان محیط دریافت دارنده جت پاشش استفاده شده است. همان‌طور که پیش‌تر اشاره شد، ظرف محتوی آب خالص توسط یک ژاکت حرارتی که در آن از روغن با گرانبروی کم به عنوان سیال عامل استفاده می‌شود، پوشیده شده است. دمای آب درون ظرف توسط یک دما سنج متصل به حسگر و نمایشگر دیجیتال و سیستم کنترل دما با دقت  $1/0^{\circ}\text{C}$  کنترل و اندازه گیری می‌شود. با استفاده از تجهیزات فوق و تحت شرایطی که در مبحث پیش توضیح داده شد، عملیات پاشش در هشت دمای مختلف ( $0-60^{\circ}\text{C}$ ) انجام شد. فواصل دمایی تعیین شده بین نقاط عملیاتی ۱۰ درجه سلسیوس بوده است.



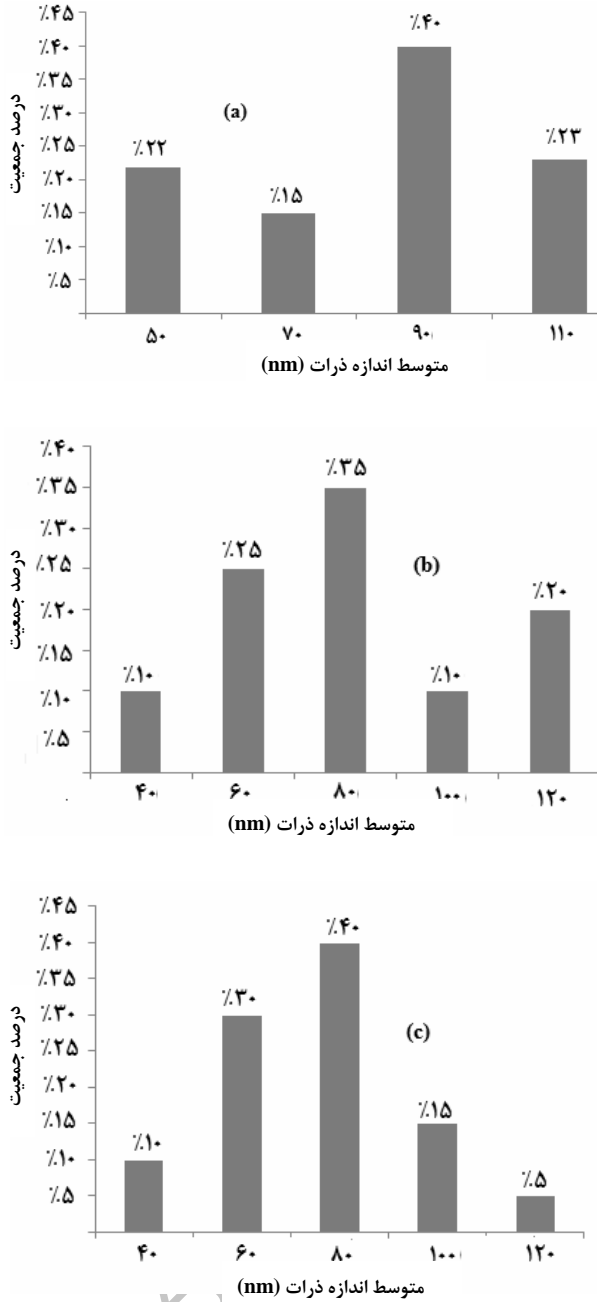
شکل ۲- روند تأثیر دمای محیط دریافت دارنده جت  
(محیط مایع آب خالص)

جدول ۱- متوسط اندازه ذرات حاصل از پاشش در آب خالص

دما (K)	متوسط اندازه ذرات (nm)
273	419
282	460
293	218
303	98
313	76
323	546
333	651

در آب خالص بین دمای  $(0-10^{\circ}\text{C})$  درجه سلسیوس، ذرات تشکیل شده نسبتاً درشت و غیر یکنواخت می‌باشند. این روند در حالیکه با افزایش دما تا  $40^{\circ}\text{C}$  درجه سلسیوس تغییر قطر متوسط و توزیع متوسط ذرات با روند کاهشی همراه بوده است، از دمای  $40^{\circ}\text{C}$  تا  $60^{\circ}\text{C}$  درجه سلسیوس مجدداً رشد متوسط ذرات مشاهده می‌شود. البته تفاوت اصلی در ریخت‌شناسی ذرات در بازه  $(0-10^{\circ}\text{C})$  نسبت به بازه

## نتیجه اثرباره پارامترهای عملیاتی بر خواص ذرات در فناوری تولید...



شکل ۴- منحنی های ذرات حاصل از پاشش در محلول های (a) ۵۰٪، (b) ۶۰٪ و (c) ۷۵٪ پلی اتیلن گلیکول

**۲-۵ اثر جرم مولکولی پلی مر پوشش دهنده**  
به منظور مطالعه تأثیر جرم مولکولی زنجیره پلی مری، سه نمونه پلیمر اتیلن گلیکول به عنوان ماده فعال در سطح در محلول دریافت دارنده جت پاششی با یکدیگر مقایسه شده اند. این سه نمونه شامل پلی اتیلن گلیکول  $10^5$ ، ۶۰۰۰ و ۷۰۰ می باشند که در جدول (۳) قطر متوسط محصولات نشان داده شده اند.

به طور تدریجی کاهش می یابند. این کاهش با افزایش تدریجی همزمان فاکتور فوق اشباع (S) که عامل اصلی تشکیل هسته است همراه می باشد.

$$S = \frac{y_E (T_E, P_E)}{y^* (T, P)} \quad (2)$$

هر چه اختلاف غلظت ناشی از افت چگالی، بین منطقه بعد و قبل از پاشش بیشتر باشد، مقدار عددی S بزرگتر و طبق رابطه (۱) سرعت تشکیل هسته بیشتر خواهد بود. افزایش دمای محلول موجب افزایش چگالی آن و غلظت ( $y^*$ ) آن شده و ارزش عددی S در پسی آن سرعت تشکیل هسته را کاهش می دهد. طبیعی است هسته هایی که با سرعت کمتری تشکیل می شوند، فرستاد رشد پیشتری پیدا خواهند کرد. این اثر حتی در لحظه خروج سیال از نازل که اوج افزایش مقدار عددی S در آن مشاهده می شود نیز دیده می شود.

### ۴-۲ اثر به کار گیری محلول پلیمری به عنوان محیط دریافت دارنده جت پاششی

در این بخش از فعالیتهای آزمایشگاهی اثر غلظت محلول دریافت کننده جت آزاد (محیطی) که پاشش و رسوبدهی در آن انجام می شود، بر اندازه متوسط ذرات تولید شده مورد بررسی قرار گرفت. بدین ترتیب که فرایند پاشش، تحت سه شرایط عملیاتی مختلف تکرار گردید. با این تفاوت که به جای پاشش به درون آب خالص به دمای  $40^\circ\text{C}$  به ترتیب به درون محلول های ۵۰٪، ۷۵٪ و ۱۰٪ پلی اتیلن گلیکول که یک ماده فعال در سطح مناسب می باشد، پاشش شد در شکل (۴) نتایج به دست آمده از آنالیز توزیع اندازه ذرات (PSD) محصولات این آزمایشها با یکدیگر مقایسه شده اند. آنالیز تمام نمونه ها حدوداً ۷۲ ساعت پس از تولید انجام گرفت.

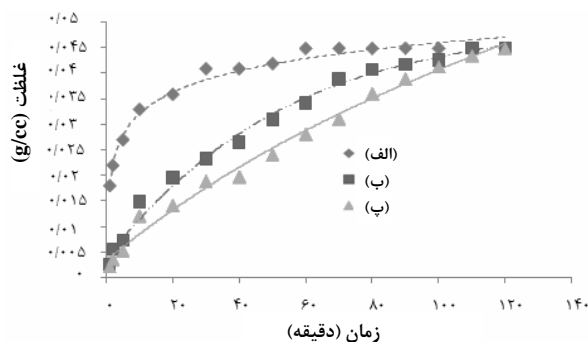
جدول ۲- اثر استفاده از بسپار پوشش دهنده بر قطر ذرات (جرم مولکولی پلی مر =  $7000$ )

قطر متوسط (nm)	درصد پلی مر
۱۱۰	۲۵٪
۹۸	۵۵٪
۸۵	۷۵٪

## ۲-۶ مطالعه سرعت اتحال پذیری دارو

هدف اصلی از تبدیل ماده جامد دارویی (ایبوبروفن) به ریز ذرات، ایجاد سطح تماس زیاد به منظور افزایش سرعت اتحال پذیری دارو در بدن می‌باشد. بدین منظور سوسپانسیون حاصل از پاشش در محلول ۵۰٪ پلی اتیلن گلیکول  $10^5$  با قطر متوسط ذرات، ۷۶ نانومتر، به عنوان یک نمونه مطلوب برگزیده شد و سرعت اتحال پذیری آن را به وسیله آزمایش تعیین سرعت اتحال پذیری، به همراه دو نمونه دیگر، یکی نمونه نا مطلوب به دست آمده از پاشش در آب خالص در ۲۷۳ کلوین با قطر متوسط ۴۶۰ نانومتر و دیگری نمونه ایبوبروفن خالص فراورش نشده با قطر متوسط حدود ۵۰۰ میکرومتر و توزیع متوسط ۳۰۵ میکرومتر، مورد مقایسه قرار گرفت.

در شکل (۶) سرعت اتحال پذیری این سه نمونه به صورت منحنی غلظت ماده جامد در محلول بافر بر حسب زمان، نشان داده شده است.



شکل ۶- (الف) سوسپانسیون حاصل از پاشش در محلول ۵۰٪ پلی اتیلن گلیکول  $10^5$  با قطر متوسط ذرات ۷۶ نانومتر، (ب) نمونه به دست آمده از پاشش در آب خالص در ۲۷۳ کلوین با قطر متوسط ۴۶۰ نانومتر، (پ) ایبوبروفن خالص فراورش نشده

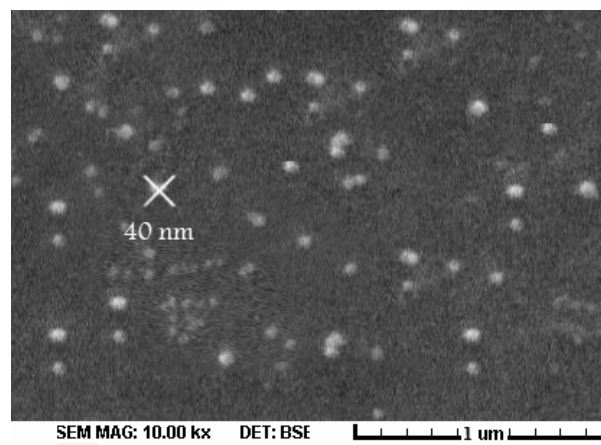
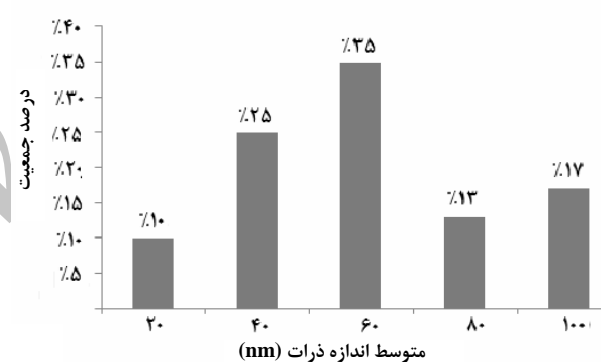
غلظت ایبوبروفن در محیط آبی ( محلول بافر) به وسیله سیستم طیف سنجی در طول موج ( $\lambda = 221 \text{ nm}$ ) و در زمان‌های ۱، ۲، ۵، ۱۰ دقیقه و سپس هر ۱۰ دقیقه یکبار اندازه‌گیری شد و اندازه‌گیری نهایی پس از گذشت ۱۲۰ دقیقه انجام گرفت.

شکل (۵) نشان می‌دهد که سرعت اتحال پذیری ذرات (ب) علیرغم کوچک بودن اندازه ذرات نسبت به نمونه ایبوبروفن فراورش نشده، افزایش چندانی حاصل ننموده و در واقع هدف مورد نظر از کاهش

جدول ۳- اثر جرم مولکولی پلی مر پوشش‌دهنده بر قطر ذرات حاصل از پاشش در ۳۱۳ کلوین

جرم مولکولی پلی مر	قطر متوسط (nm)
۶۰۰	۲۰۱
۷۰۰۰	۱۱۰
۱۰۵	۶۷

مشاهده می‌شود که کیفیت یا به عبارت بهتر قطر متوسط و توزیع متوسط ذرات به دست آمده برای نمونه‌های تهیه شده در پلیمر PEG با جرم مولکولی  $10^5$ ، از دو نمونه دیگر به وضوح بهتر می‌باشد. دلیل این امر را می‌توان در پوشش‌دهی هر چه مناسب‌تر، توسط پلیمری که جرم مولکولی آن بسیار بالاست، جستجو نمود. یک زنجیره پلیمری سنگین با هسته‌های اولیه تشکیل شده همبوشانی بسیار خوبی ایجاد می‌کند و علاوه بر جلوگیری از رشد آنها مانع بهم چسبیدن ذرات و تشکیل خوش‌های درشت می‌شود (شکل (۵)).



شکل ۵- منحنی توزیع قطر متوسط ذرات و تصویر SEM ذرات حاصل از پاشش در محلول ۷۵٪ پلی اتیلن گلیکول  $10^5$  در دمای ۳۱۳ کلوین

## مراجع

- [1] Y. P. Sun, R. Guduru, F. Lin, "A Static Methods Coupled with Gravimetric Analysis for the Determination of Solubility of Solids in Supercritical Carbon Dioxide," *Ind. Eng. Chem. Res.*, 39, 4463-4669, (2000).
- [2] R. L. True, J. Keith P., W. Robert, "Solution-Based Particle Formation of Pharmaceutical Powders by Supercritical or Compressed Fluid CO<sub>2</sub> and Cryogenic Spray-Freezing Technologies," *Drug Development and Industry Pharmacy Drug Development ans Industry Pharmacy*, 27, 10, 1003-1015, (2001).
- [3] M. J. Meziani, P. Pathak, R. Hurezeanue, *Angew*, "Formation and Stabilization of Ibuprofen Nanoparticles in Supercritical Fluid Processing," *Chem. Int. Ed.*, 43, 704, (2004).
- [4] S. Sethia, E. Squinlante, "Solid Dispersions: Revival with greater possibilities and applications in oral drug delivery," *Journal of pharmaceutical Science*, 91, 9, 1948-1957, (2002).
- [5] T. Ranjit, G. Ram, "Supercritical CO<sub>2</sub> Based Silica Coating of Gold Nano-particles Using Water-in-Oil Microemulsions," *Ind. Eng. Chem. Res.*, 44, 7380-7387, (2005).
- [6] G. Ashish Kumar Gupta, "Synthesis and Surface Engineering of Iron Oxide Nanoparticles for Biomedical Applications," *Biomaterials*, 26, 3995-4021, (2005).
- [7] Y. Kawashima, P. York, "Improved flowability and compactibility of spherically agglomerated crystals of ascorbic acid for direct for direct tabletting designed by spherical crystallization process," *Advanced Drug Delivery Reviews*, 60, 297-446, (2008).
- [8] P. Pankaj, M. Mohammed, D. Tarang, S. Ya-ping, "Formation and Stabilization of Ibuprofen Nanoparticles in Supercritical Fluid Processing," *Ya-ping Sun, J. of Supercritical Fluids*, 37, 268-279, (2006).
- [9] Z. Fatemeh, A. Mohammad Mehdi, V. Ali., A. Mehdi, S. Ali Akbar, "Drug Nano-Particles Formation by Supercritical Rapid Expansion Method; Operational Condition Effects Investigation," *IJCCE*, Accepted on October, (2009).
- [10] J. Wang, J. Chen, Y. Yang, "Supercritical Technology in Brazil: System Investigated, J. of Supercritical Fluids," *J. Supercritical Fluids*, 33, 159-172, (2005).
- [11] S. Victor, E. Inga B., Z. Xuyean, "Production of Nanocrystalline RDX by Rapid Expansion of Supercritical Solutions," *Explosives, Pyrotechnics*, 30, 105-108, (2005).
- [12] M. Bancherro; Ferri A., L.Manna, "Dye uptake and partition ratio of disperse dyes between a PET yarn and supercritical carbon dioxide," *J. Supercritical Fluids*, 37, 1, 107-114, (2006).

اندازه ذرات به دست نیامده است. در حالی که ذرات (الف)، بدليل کروی و غیر کریستالی بودن و همچنین اندازه ریز و توزیع یکنواخت، به سرعت و با اختلاف زمانی حدود ۹۰ دقیقه به میزان اتحلال خود رسیده است. بدین ترتیب می‌توان نتیجه گرفت که مزیت روش پاشش ناگهانی در شرایط نامناسب، بهم ریختن فرم کریستالی ذرات و متعاقب آن افزایش قابل توجه سرعت اتحلال پذیری ذرات می‌باشد و این میزان از تغییر ریختشناصی نسبت به نمونه اصلی (فراورش نشده) توسط هیچ روش دیگری قابل دستیابی نیست. از سوی دیگر، عامل اصلی بر هم ریختگی شکل کریستالی ذرات به دست آمده توسط روش RESS را می‌توان در قدرت نفوذپذیری شدید حلال، فعالیت و انرژی مولکولی زیاد آن در شرایط فوق بحرانی جستجو کرد. بدینه است که سرعت اتحلال پذیری یک ذره کروی و یا بی‌ریخت نسبت به ذره ای با ساختار کریستالی، بسیار بیشتر می‌باشد.

## ۳- نتیجه‌گیری

طی تحقیقات حاضر، به این نتیجه رسیدیم که دمای پایین (کمتر از ۱۰°C) برای مایع دریافت کننده جت، موجب تولید ذرات درشت (بیشتر از ۴۰۰ nm) و نسبتاً کریستالی می‌شود، که سرعت اتحلال پذیری چندان بالایی ندارند. همچنین، استفاده از محلول پلیمری (پلی اتیلن گلیکول) بجای آب خالص، مستقل از غلظت آن می‌تواند به میزان زیادی کیفیت ذرات را افزایش دهد. البته پلیمرهای سنتگین‌تر ( $M_w = 10^5$ ) در این زمینه بسیار مفیدتر از پلیمرهای سبک عمل می‌کنند.

همچنین آزمون سرعت اتحلال پذیری نشان داد که ذرات تولیدی هرچه بی شکلتر و یکنواخت‌تر باشند، سرعت اتحلال پذیری بالاتری داشته و به عنوان دارو از دسترسی زیست‌شناسخی بیشتری برخوردار خواهند بود. در تمام آزمایش‌ها از دی اکسید کربن به عنوان سیال فوق بحرانی استفاده شد.

## ۴- تقدیر و تشکر

ضمن تشکر از اداره محترم پژوهش واحد دانشگاه آزاد اسلامی - واحد آیت‌الله آملی، اعلام می‌دارد مقاله حاضر منتج از طرح پژوهشی است که هزینه‌های آن از محل بودجه پژوهشی آن واحد تأمین شده است.

### 1. Bioavailability

- [13] A. Tandy, F. Dehghani, N. R. Foster," Nanomaterial and Supercritical Fluids," *J. Supercritical Fluids*, 37, 272-278, (2006).
- [14] Y. Nuray, S. Tuna, O. Duker, "Particle size design of digitoxin in supercritical fluids," *J. Supercritical Fluids*, 41, 440-451, (2007).
- [15] F. Rmer, T. Kraska, "Molecular Dynamics Simulation of Naphthalene Particle Formation by Rapid Expansion of a Supercritical Solution, " *J. Phys. Chem. C*, 113, 19021–19038, (2009).
- [16] M. Mohammed J., P. Pankaj Pathak, H. Razvan, T. Mark C., E. Robert M., S. Ya-Ping Sun, "Supercritical-Fluid Processing Technique for Nanoscale Polymer Particles," *Angewantde*, 43, 6, 704- 707, (2004).
- [17] M. Mohammed J. Meziani, S. Ya-Ping Sun, "Protein-Conjugated Nanoparticles from Rapid Expansion of Supercritical Fluid Solution into Aqueous Solution," *J. Am. Chem. Soc.*, 125, 26, 8015-8018, (2003).
- [18] W. Markus Weber, R. Lynn M., D. Pablo G., "Hydrodynamics Modeling and Analysis of Rapid Expansion Systems of Supercritical Solutions (RESS)," *J. of Supercritical Fluids*, 23, 65-81, (2002).
- [19] A. Nagi, S. Mariana N., Z. Hana F. Zamri, "Extraction of Essential Oil from Nigella sativa Using Supercritical Carbon Dioxide: Study of Antibacterial Activity, " *American J. Pharmacology and Toxicology*, 3, 4, 225-228, (2008).
- [20] B. Helfgen, P.Hils, Ch.Holzknech, M.Turk, K.Schaber, "Time-Resolved Aerosol Collector for CCSEM/EDX Single-Particle," *Analysis Aerosol Science*, 32, 295-319, (2001).
- [21] P. Hirunsit, Z. Huang, T. Srinophakon, M.Charoenchaitrakool, S. Kawi, *Powder Tech.*, "Particle Formation of Ibuprofen- Supercritical CO<sub>2</sub> System from Rapid Expansion of Supercritical Solution," *Powder Technology*, 154, 83-94, (2005).
- [22] D. Kyrak, U. Akman, O. Hortacsu, "The solubilities of xanthone and xanthene in supercritical carbon dioxide: Structure effect", *J. of supercritical Fluids*, 26, 17-31, (2003).
- [23] Y. Cherniyak, F. Henon, R. B. Herris, R.D. Gould, "Metal Nanoparticles Prepared in Supercritical Carbon Dioxide," *Ind. Eng. Chem. Res.*, 40, 26, 6118-6026, (2001).
- [24] F. Jaques, L. Hubert, L. Jean-Jaques, S. Martial, "A three step supercritical process to improve the dissolution rate of Eflucimibe," *Powder Technol.*, 141, 219-226, (2004).
- [25] T. Michael, L. Ralph, "Particle Production by Supercritical Antisolvent Processing," *Techniques AAPS Pharm. Sci. Tech.*, 5, 103-111, (2004).
- [26] M. L. Corazza, L. Cardozo Filho, C. Dariva, "Modeling and simulation of rapid expansion of supercritical solutions," *Braz. J. Chem. Eng.*, 23, 3, 214-219, (2006).
- [27] S-D. Yeo, E. Kiran, "Formation of polymer particles with supercritical fluids: a review," *J. of Supercritical Fluids*, 34, 278-308, (2005).